

22 レーザ励起NO₂の蛍光特性
Fluorescence of NO₂ excited
by lasers.

富山駿介 本岡輝昭 高見勝己
S.Tomiyama T.Motoooka K.Takami

日立製作所中央研究所
Central Research Laboratory,
Hitachi Ltd.

はじめに レーザを用いた大気汚染計測用レーダとして、ラマン散乱はいち早く提案され実験された。しかしラマン散乱は変換効率(散乱断面積)が極めて小さくラマン散乱を利用したレーザ。レーダは感度が悪い欠点がある。一方蛍光放出は物理的過程が本質的にラマン散乱と異なるが、放出光は励起光と一般的に波長が異り instrumentationではラマン散乱とほど共通にできること、常に吸収を伴うために変換効率(微分放出断面積)がラマン散乱の場合より数桁大きいことが期待されるなどの理由でレーザ励起蛍光放出光をプローブとしたレーザ・レーダの提案もすでにされている。放出断面積の推定値としては~4000 Å の波長のレーザ光で励起した場合 $\sim 10^{-26} \text{ cm}^2 \text{ sr}^{-1}$ が提案されていた。この値は一気圧下の大気中のクエンチング効果を考慮に入れたもので“クエンチング”係数と微分放出断面積の両者に推定値を用いていた。われわれは蛍光放出をレーザ・レーダあるいは他の形式の大気汚染計測に用いるためには各汚染分子について励起波長と微分放出断面積、クエンチング係数、放出光プロファイルなどの基本的パラメータが明らかにされていることが前提と考え、先に A_f^+ レーザ励起で NO_2 のクエンチング係数を求め、従来推定値として用いられていた値が大幅に訂正されるべきことを示した。次のステップとして A_f^+ レーザ励起によって NO_2 の微分放出断面積を測定した。以下ではクエンチング係数、微分放出断面積の測定両者につき述べる。

§1 NO_2 の電子状態 ここでは可視から紫外に吸収を持つ電子遷移のみを考える。蛍光は赤外吸収に伴って当然起きるがこれは他の機会に検討することとする。一般的にいって多原子分子の電子スペクトルは原子の電子スペクトル程良く分っていない。それは分子の励起電子の波動函数の計算の精度が悪いためである。半経験的計算でも振動や回転の場合程実験データをうまく説明できない。 NO_2 については非経験的計算もあるが、たとえば遷移確率の値は実験値と大きいがらきがある。一方実験データの面では当然のことながら基底状態の様子は赤外吸収によって良く分っているが励起状態のふるまいについてはほとんど分っていない。それは主に特定の励起準位のみを励起できるような、スペクトル幅が狭く強力な可視、紫外の光源が得難いことによる。近年レーザを励起光源として分子の蛍光分光をやるテクニックが考えられているが、まだ緒についたばかりであって信頼に足るデータが着々生産されるとどう状態にはない。したがって現状では分子蛍光を大気汚染測定の如き実用に利用しようとすれば放出断面積、クエンチング係数、遷移確率、放出スペクトルなどの基本パラメータの測定を余儀なくされる。図1に Gangiら

による NO_2 の ON-O 結合の距離と電子のポテンシャルエネルギーの一の概念図を示す。提案する人によつてポテンシャルカーブの形が大幅に違つたが、ここでは便宜上 Gangi らの提唱するカーブを使つて以下の説明を行つ。

§ 2 NO_2 の吸収スペクトル

NO_2 の吸収スペクトルは解離限界である $\sim 3200\text{\AA}$ から 10000\AA 附近まで広い範囲に拡がつてゐる。 6200\AA 附近で吸収強度に dip の観測されることから励起準位に二種あることが推測される。しかし 4000\AA 附近に吸収ピークを示す短波長側のバンドの励起状態が何かにつけても諸説がある。

実験的には Atherton

らの NaNNO_2 の単結晶中の NO_2 の配向を ESR で決めて 4000\AA 附近の吸収の偏光方向とから励起準位を 2B_2 としたもの、Wilson らの NO_2 の photodissociation recoil のスペクトルから励起準位を 2B_2 としたもの、Gangi らの計算によるエネルギー間隔の比較から 2B_2 状態を上の状態とする説に対し、Douglas らは $3700\text{\AA} \sim 4000\text{\AA}$ のバンドのプログレッションの回転構造の解析から励起状態を 2B_1 としている。一方 6000\AA 以上の波長の吸収は、吸収の強さが短波長側吸収バンドより格段に小さいために偏光を測定されていないが CO_2^- の第一励起状態からの類推で 2B_1 であろうとされてゐる。表 1 に Gangi らの計算した電子状態のエネルギー、振動子強度などを示す。

§ 3 NO_2 の螢光と輻射寿命

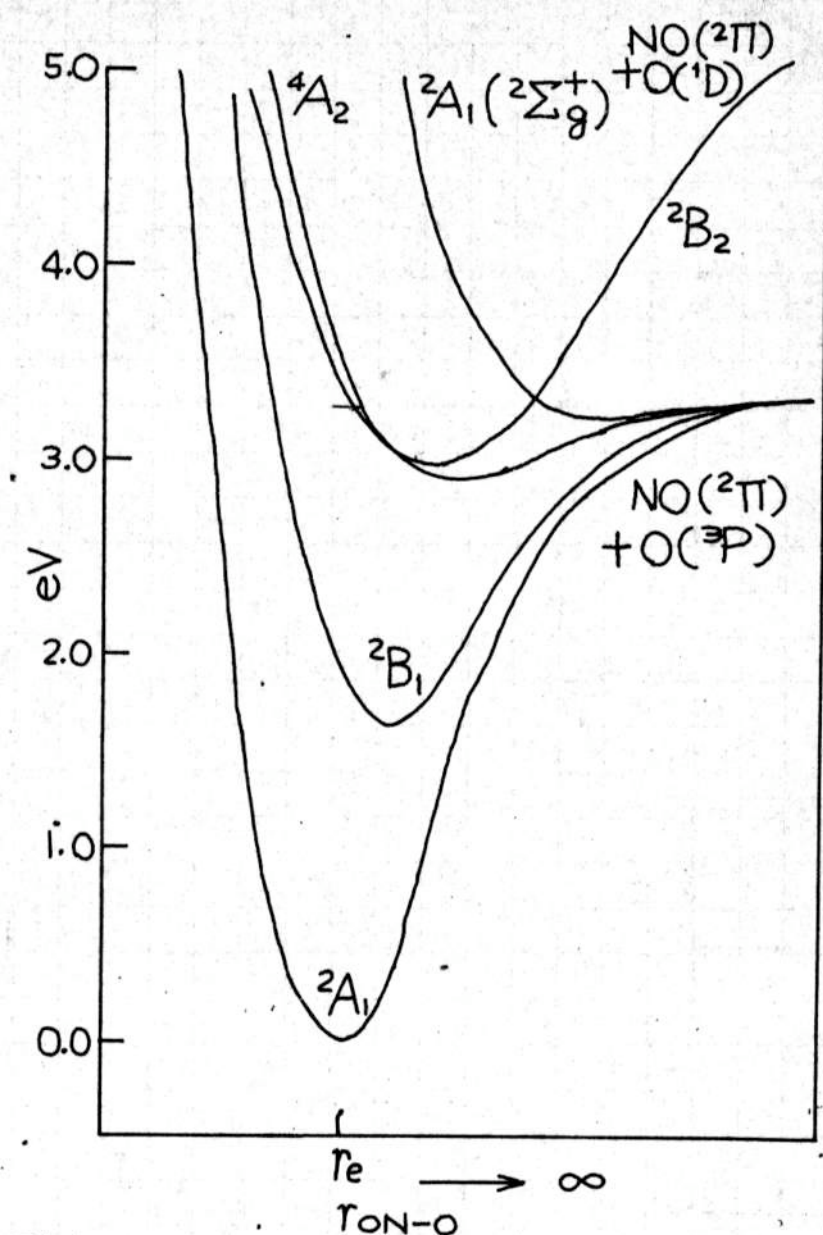


図 1 ON-O ボンドの距離とポテンシャルカーブ (schematic)。 2A_2 , 4B_2 ははぶいた。

表1 NO₂電子状態のエネルギーの計算値

State	エネルギー(原子単位)	励起エネルギー(eV)	振動子強度	$\tau(\mu s)$
² A ₁	-203.94318
² B ₁	-203.87873	1.75	0.004924	1.525
² B ₂	-203.82077	3.33	0.01670	0.1248
⁴ B ₂	-203.81907	3.38	1.0×10^{-8}	
⁴ A ₂	-203.81704	3.43	2.47×10^{-4}	
² A ₂	-203.79116	4.13	3×10^{-7}	

NO₂の螢光については従来輻射寿命、クエンチング係数が主に研究の対象であった。Norrish, Neuberger^{bengier}らはランプ励起で螢光のスペクトル、輻射寿命を測定し $\lambda_E = 4358 \text{ Å}$ で $\tau = 4.4 \times 10^{-5} \text{ s}$ を得た。Hall らは吸収係数から螢光の平均寿命を計算し $2.6 \times 10^{-7} \text{ s}$ を得た。実験と計算の二の不一致は以来議論的となつた。Neuberger, Douglas, Myers, Sakurai らは不一致の原因について議論を展開している。中間状態の存在を仮定するもの、吸収係数の測定に問題ありとするものなど種々あるが結論は得られていない。しかし寿命の測定値には実験者間で大きなばらつきは無い。これに対してクエンチング係数の測定値は実験者間で大きいばらつきがある。比較的最近の例をと、ても一桁以上の差がある。(自己クエンチング)空気によるクエンチングはわれわれの測定が最初のものであったが、混合空気の圧力が高くなると Stern-Volmer の関係から大きく外れる。本来 Stern-Volmer の関係の適用範囲は狭いものであるが、これに付する解析がまだ無い。空気の圧力が高い場合のクエンチングの可引きが空気と NO₂ の混合の不完全さに基づくものとしても、簡単な思考実験から実験とは逆の結論が導ける。クエンチングに関するにはさらに多くの実験がなされることが望まれる。螢光の放出断面積については今まで全く報告がなかつた。今回 Ar⁺レーザの発振線を励起線として NO₂ 萤光の放出断面積を測定し、 4965 Å で $\sim 5 \times 10^{-23} \text{ cm}^2 \text{ sr}^{-1}$ の値を得た。実験はラマン散乱断面積の測定と同様の方法で行つた。詳細については講演で触ることとする。